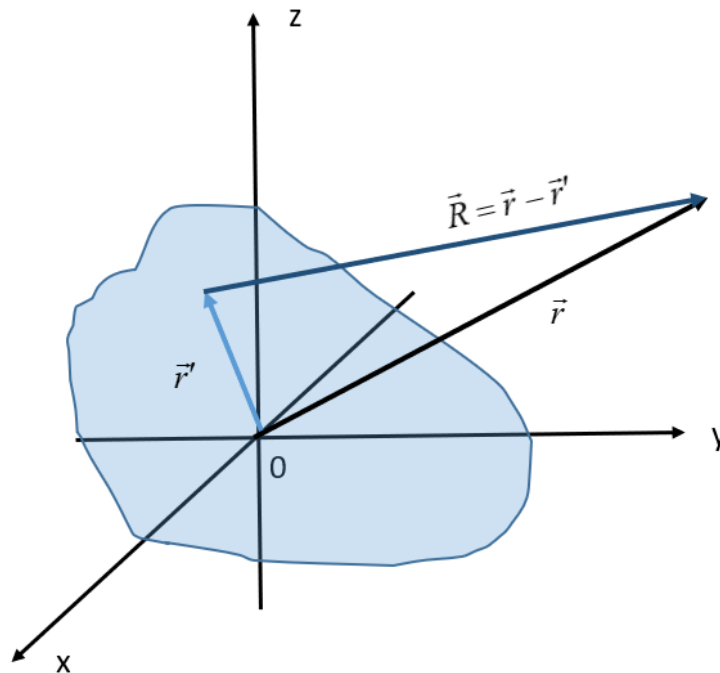


Лекція № 22

На минулій лекції вивели отримали **рівняння Пуассона в інтегральній формі** (формула (6.28)). Змінимо в ній позначення на ті, якими скористалися в формулі (6.29). Тоді маємо (див. рис).

$$\varphi(\vec{r}) = \iiint_V \left[\rho(\vec{r}') \frac{1}{|\vec{r} - \vec{r}'|} \right] dV' - \frac{1}{4\pi} \iint_S \left[\varphi \frac{\partial}{\partial n} \left(\frac{1}{|\vec{r} - \vec{r}'|} \right) - \frac{1}{|\vec{r} - \vec{r}'|} \frac{\partial \varphi}{\partial n} \right] dS'. \quad (6.30)$$

Припустимо, що всі заряди, які створюють дане електростатичне поле, знаходяться всередині скінченного об'єму (див. рис). Початок координат обираємо десь всередині об'єму.



Виконаємо в (6.30) інтегрування по нескінченному об'єму. В цьому випадку інтеграл по нескінченно далекій поверхні зникає. Площа поверхні збільшується пропорційно квадрату відстані $S \sim r^2$. Потенціал та його нормальна похідна зменшуються або як в разі точкового заряду $\varphi \sim \frac{1}{r}$, $\frac{\partial \varphi}{\partial n} \sim \frac{1}{r^2}$, або навіть швидше (якщо повний заряд всередині об'єму дорівнює нулю). Оцінимо

$$\varphi \frac{\partial}{\partial n} \left(\frac{1}{R} \right) - \frac{1}{R} \frac{\partial \varphi}{\partial n} \sim \frac{1}{r} \cdot \frac{1}{r^2} = \frac{1}{r^3}.$$

Маємо таку оцінку інтегралу у другому доданку за умови $r \rightarrow \infty$:

$$\oint_S \left[\varphi \frac{\partial}{\partial n} \left(\frac{1}{R} \right) - \frac{1}{R} \frac{\partial \varphi}{\partial n} \right] dS \sim \frac{1}{r^3} \cdot r^2 \rightarrow 0$$

Можемо стверджувати тепер, що електростатичний потенціал поля для системи зарядів, які знаходяться у скінченному об'ємі, визначається наступним розв'язком рівняння Пуассона

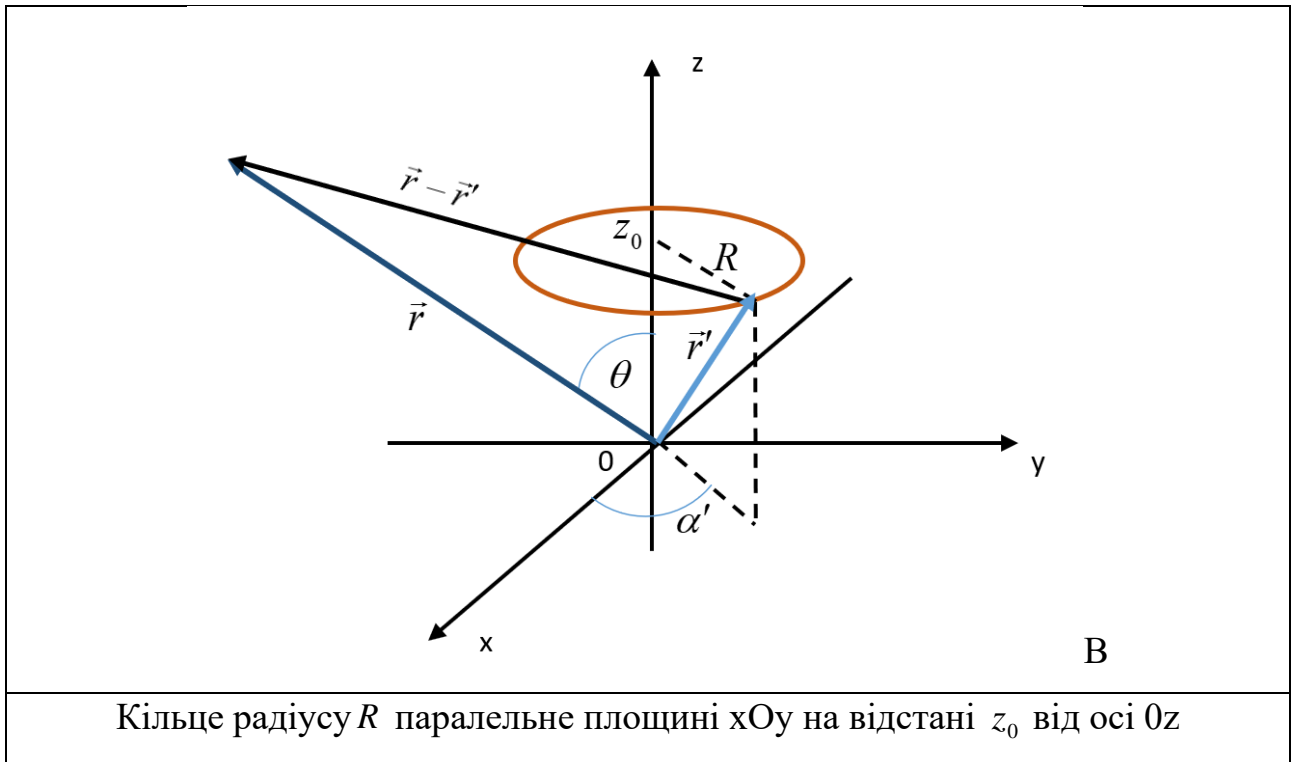
$$\varphi(\vec{r}) = \iiint_V \left[\rho(\vec{r}') \frac{1}{|\vec{r} - \vec{r}'|} \right] dV'. \quad (6.31)$$

Для системи точкових зарядів з густиною $\rho(\vec{r}) = \sum_a e_a \delta(\vec{r} - \vec{r}_a)$ електростатичний потенціал

$$\begin{aligned} \varphi(\vec{r}) &= \iiint_V \left[\sum_a e_a \delta(\vec{r}' - \vec{r}_a) \frac{1}{|\vec{r} - \vec{r}'|} \right] dV' = \\ &= \sum_a e_a \iiint_V \delta(\vec{r}' - \vec{r}_a) \frac{1}{|\vec{r} - \vec{r}'|} dV' = \sum_a \frac{e_a}{|\vec{r} - \vec{r}_a|}; \\ \varphi(\vec{r}) &= \sum_a \frac{e_a}{|\vec{r} - \vec{r}_a|}; \end{aligned} \quad (6.32)$$

6.5.1. Потенціал поля тонкого рівномірно зарядженого кільця

В якості прикладу застосування формули (6.31) розглянемо задачу про електростатичний потенціал тонкого рівномірно зарядженого кільця радіусу R із повним зарядом q . Лінійна густина заряду $\rho = q/2\pi R$. Розташуємо кільце у площині xOy так, щоб центр кільця співпадав із віссю Oz (див. рис). Координати точок кільця $\vec{r}' = (R \cos \alpha', R \sin \alpha', z_0)$. Для розрахунків доцільно точку спостереження обрати у площині xOz $\vec{r} = (x, 0, z)$., оскільки кільце має осьову симетрію відносно осі Oz .



Кільце радіусу R паралельне площині xOy на відстані z_0 від осі Oz

Розіб'ємо кільце на нескінченно малі дуги $Rd\alpha'$ й підсумуємо поля, створювані ними. Відстані між цими дугами та точкою спостереження визначаються як

$$|\vec{r} - \vec{r}'| = \left[(x - R \cos \alpha')^2 + R^2 \sin^2 \alpha' + (z - z_0)^2 \right]^{1/2} =$$

$$= \left[x^2 + z^2 + R^2 (\sin^2 \alpha' + \cos^2 \alpha') - 2xR \cos \alpha' - 2zz_0 \right]^{1/2}$$

або після переходу до сферичних координат для радіус-вектору \vec{r}

$$\vec{r} = (x, y, z) = (r \sin \theta \cos \alpha, r \sin \theta \sin \alpha, r \cos \theta);$$

$$\alpha = 0;$$

$$\vec{r} = (x, y, z) = (r \sin \theta, 0, r \cos \theta)$$

так:

$$x = r \sin \theta; \quad y = 0; \quad z = r \cos \theta;$$

$$|\vec{r} - \vec{r}'| = \sqrt{r^2 + R^2 - 2rR \sin \theta \cos \alpha' + z_0^2 - 2rz_0 \cos \theta}.$$

Потенціал нескінченно малої дуги:

$$d\varphi = \rho \frac{Rd\alpha'}{\sqrt{r^2 + R^2 - 2rR \sin \theta \cos \alpha' + z_0^2 - 2rz_0 \cos \theta}}; \quad (6.33)$$

Тут $\rho = \frac{q}{2\pi R}$ – лінійна густина заряду,

Сумарний потенціал:

$$\varphi = \varphi = \rho \int_0^{2\pi} \frac{R d\alpha'}{\sqrt{r^2 + R^2 - 2rR \sin \theta \cos \alpha' + z_0^2 - 2rz_0 \cos \theta}} \quad (6.34)$$

або

$$\varphi = \frac{q}{2\pi} \int_0^{2\pi} \frac{d\alpha'}{\sqrt{r^2 + R^2 - 2rR \sin \theta \cos \alpha' + z_0^2 - 2rz_0 \cos \theta}} \quad (6.35)$$

Для спрощення розрахунків в задачнику [Batygin V. V. Problems in electrodynamics / V. V. Batygin, I. N. Toptygin. – Academic Press, 1978. – 574 p.] запропонована така заміна $\alpha' = \pi - 2\beta$. Тепер

$$\alpha' = \pi - 2\beta; \quad \beta = \frac{\pi - \alpha'}{2}; \quad d\alpha' = -2d\beta;$$

$$0 \leq \alpha' \leq 2\pi; \quad -\frac{\pi}{2} \leq \beta \leq \frac{\pi}{2}.$$

Після деяких тригонометричних перетворень

$$\begin{aligned} & r^2 + R^2 - 2rR \sin \theta \cos(\pi - 2\beta) + z_0^2 - 2rz_0 \cos \theta = \\ & = r^2 + R^2 + 2rR \sin \theta \cos(2\beta) + z_0^2 - 2rz_0 \cos \theta = \\ & r^2 + R^2 + 2rR \sin \theta (1 - 2\sin^2 \beta) + z_0^2 - 2rz_0 \cos \theta = \\ & r^2 + R^2 + 2rR \sin \theta + z_0^2 - 2rz_0 \cos \theta - 4rR \sin \theta \sin^2 \beta = \\ & = (r^2 + R^2 + 2rR \sin \theta + z_0^2 - 2rz_0 \cos \theta) \left(1 - \frac{4rR \sin \theta}{r^2 + R^2 + 2rR \sin \theta + z_0^2 - 2rz_0 \cos \theta} \sin^2 \beta \right). \end{aligned}$$

отримаємо такий вираз

$$\varphi = \frac{2q}{\pi} \frac{1}{\sqrt{r^2 + R^2 + 2rR \sin \theta + z_0^2 - 2rz_0 \cos \theta}} \int_0^{\pi/2} \frac{d\beta}{\sqrt{1 - m \sin^2 \beta}}; \quad (6.36)$$

$$m = \frac{4rR \sin \theta}{r^2 + R^2 + 2rR \sin \theta + z_0^2 - 2rz_0 \cos \theta}.$$

Інтеграл, який входить в (6.36) відомий в теорії спеціальних функцій, як «еліптичний інтеграл 1-го роду»

$$K(m) = \int_0^{\pi/2} \frac{d\beta}{\sqrt{1 - m \sin^2 \beta}}, \quad 0 \leq m \leq 1. \quad (6.37)$$

Деякі результати моделювання поля кільця

6.6. Потенціал поля на великих відстанях від системи зарядів

Нехай система зарядів знаходиться у скінченному об'ємі з характерним лінійним розміром a . Припустимо, що відстань від системи зарядів до точки спостереження $r \gg a$, тоді $r' \ll r$, бо $r' \leq a \ll r$.

Будемо шукати наближені формули для $\varphi(\vec{r})$ на далекій відстані від системи зарядів у вигляді

$$\varphi(\vec{r}) = \varphi^{(0)} + \varphi^{(1)} + \varphi^{(2)} + \varphi^{(3)} + \dots$$

Маємо малі параметри $|x'|, |y'|, |z'| \ll r$ в знаменнику (6.31) (або (6.32)), по яким можна виконати розкладання

$$\frac{1}{|\vec{r} - \vec{r}'|}$$

у тривимірний ряд Тейлора

$$\begin{aligned} \frac{1}{|\vec{r} - \vec{r}'|} &= \frac{1}{r} + \sum_{\alpha=1}^3 \frac{\partial}{\partial x'_\alpha} \left(\frac{1}{|\vec{r} - \vec{r}'|} \right)_{x'_\alpha=0} x'_\alpha + \frac{1}{2!} \sum_{\alpha, \beta=1}^3 \frac{\partial^2}{\partial x'_\alpha \partial x'_\beta} \left(\frac{1}{|\vec{r} - \vec{r}'|} \right)_{\substack{x'_\alpha=0 \\ x'_\beta=0}} x'_\alpha x'_\beta + \\ &\frac{1}{3!} \sum_{\alpha, \beta, \gamma=1}^3 \frac{\partial^3}{\partial x'_\alpha \partial x'_\beta \partial x'_\gamma} \left(\frac{1}{|\vec{r} - \vec{r}'|} \right)_{\substack{x'_\alpha=0 \\ x'_\beta=0 \\ x'_\gamma=0}} x'_\alpha x'_\beta x'_\gamma + \dots \end{aligned}$$

Результат такого розкладання можна представити у вигляді

$$\begin{aligned} \frac{1}{|\vec{r} - \vec{r}'|} &= \frac{1}{r} - \sum_{\alpha=1}^3 \frac{\partial}{\partial x'_\alpha} \left(\frac{1}{r} \right) x'_\alpha + \frac{1}{2!} \sum_{\alpha, \beta=1}^3 \frac{\partial^2}{\partial x'_\alpha \partial x'_\beta} \left(\frac{1}{r} \right) x'_\alpha x'_\beta + \\ &-\frac{1}{3!} \sum_{\alpha, \beta, \gamma=1}^3 \frac{\partial^3}{\partial x'_\alpha \partial x'_\beta \partial x'_\gamma} \left(\frac{1}{r} \right) x'_\alpha x'_\beta x'_\gamma + \dots \end{aligned}$$

Похідні не залежать від змінної інтегрування. Тепер

$$\begin{aligned}
\varphi(r') = & \underbrace{\left(\frac{1}{r}\right) \iiint_V \rho(\vec{r}') dV'}_{\varphi^{(0)}} - \underbrace{\sum_{\alpha=1}^3 \frac{\partial}{\partial x_\alpha} \left(\frac{1}{r}\right) \iiint_V \rho(\vec{r}') x'_\alpha dV'}_{\varphi^{(1)}} + \\
& + \underbrace{\frac{1}{2!} \sum_{\alpha,\beta=1}^3 \frac{\partial^2}{\partial x_\alpha \partial x_\beta} \left(\frac{1}{r}\right) \iiint_V \rho(\vec{r}') x'_\alpha x'_\beta dV'}_{\varphi^{(2)}} - \\
& - \underbrace{\frac{1}{3!} \sum_{\alpha,\beta,\gamma=1}^3 \frac{\partial^3}{\partial x_\alpha \partial x_\beta \partial x_\gamma} \left(\frac{1}{r}\right) \iiint_V \rho(\vec{r}') x'_\alpha x'_\beta x'_\gamma dV'}_{\varphi^{(3)}} + \dots
\end{aligned} \tag{6.38}$$

Для системи точкових зарядів

$$\rho(\vec{r}') = \sum_{a=1}^N e_a \delta(\vec{r}' - \vec{r}_a) = \sum_{a=1}^N e_a \delta(x' - x_a) \delta(y' - y_a) \delta(z' - z_a)$$

формула (6.38) приймає вигляд

$$\begin{aligned}
\varphi(x, y, z) = & \left(\sum_{a=1}^N e_a\right) \frac{1}{r} - \sum_{\alpha=1}^3 \left(\sum_{a=1}^N e_a x_{a\alpha}\right) \frac{\partial}{\partial x_\alpha} \left(\frac{1}{r}\right) + \\
& + \frac{1}{2!} \sum_{\alpha,\beta=1}^3 \left(\sum_{a=1}^N e_a x_{a\alpha} x_{a\beta}\right) \frac{\partial}{\partial x_\alpha} \frac{\partial}{\partial x_\beta} \left(\frac{1}{r}\right) + \\
& - \frac{1}{3!} \sum_{\alpha,\beta,\gamma=1}^3 \left(\sum_{a=1}^N e_a x_{a\alpha} x_{a\beta} x_{a\gamma}\right) \frac{\partial}{\partial x_\alpha} \frac{\partial}{\partial x_\beta} \frac{\partial}{\partial x_\gamma} \left(\frac{1}{r}\right) + \dots
\end{aligned} \tag{6.39}$$

В нульовому наближенні отримуємо поле точкового заряду

$$\begin{aligned}
\varphi^{(0)} &= \frac{q}{r}; \\
q &= \iiint_V \rho(\vec{r}') dV' = \sum_{a=1}^N e_a.
\end{aligned} \tag{6.40}$$

розташованого у початку координат. Якщо повний заряд системи дорівнює нулю, суттєвими стають наступні наближення.

Введемо наступні терміни та позначення.

6.6.1. Дипольний момент. Електричний диполь

Дипольний момент довільної системи зарядів визначається так:

$$d_\alpha = \iiint_V \rho(\vec{r}') x'_\alpha dV' = \sum_{a=1}^N e_a x_{a\alpha};$$

$$\vec{d} = \sum_{a=1}^N e_a \vec{r}_a = (d_x, d_y, d_z);$$
(6.41)

Дипольний член в потенціалі:

$$\varphi^{(1)} = - \sum_{\alpha=1}^3 \left(\sum_{a=1}^N e_a x_{a\alpha} \right) \frac{\partial}{\partial x_\alpha} \left(\frac{1}{r} \right) = - \sum_{\alpha=1}^3 d_\alpha \frac{\partial}{\partial x_\alpha} \left(\frac{1}{r} \right) = \sum_{\alpha=1}^3 d_\alpha \left(\frac{x_\alpha}{r^3} \right) = \frac{d_\alpha x_\alpha}{r^3} = \frac{(\vec{d}, \vec{r})}{r^3}.$$

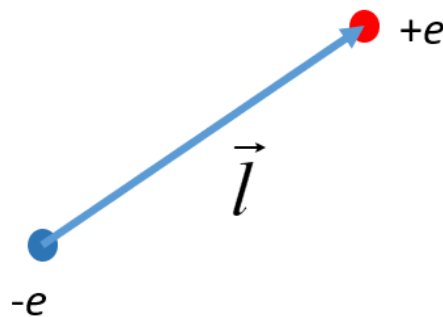
По індексу α , який двічі повторюється відбувається сумування. В останньому виразі індекс суми опущено.

$$\varphi^{(1)} = \frac{(\vec{d}, \vec{r})}{r^3}.$$
(6.42)

Дипольний момент є тривимірним вектором.

Якщо система зарядів є електрично нейтральною, тобто $\sum_a e_a = 0$, дипольне наближення є першим ненульовим членом розкладання поля на далеких відстанях.

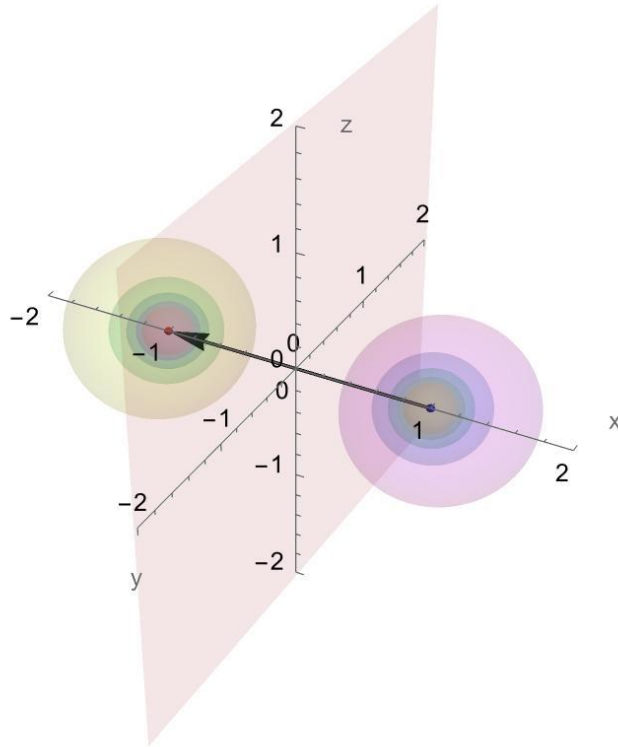
Простішим диполем є система із двох зарядів однакових по величині та протилежних за знаком.



Дипольний момент для такого диполя – це вектор, який проводиться від від'ємного заряду до додатного

$$\vec{d} = e\vec{l}.$$
(6.43)

Нижче наведені результати моделювання еквіпотенціальних поверхонь поля системи із двох зарядів (тривимірний графік)



Напруженість поля точкового диполя легко знайти за відомою формулою

$$\vec{E} = -\nabla \varphi = -\nabla \frac{(\vec{d}, \vec{r})}{r^3} = \frac{3(\vec{d}, \vec{r})\vec{r}}{r^5} - \frac{\vec{d}}{r^3} = \frac{3(\vec{d}, \vec{r})\vec{r} - \vec{d}r^2}{r^5};$$

$$\vec{E} = \frac{3(\vec{d}, \vec{r})\vec{r} - \vec{d}r^2}{r^5}. \quad (6.44)$$

На наступному малюнку приведений 2D графік еквіпотенціальних поверхонь та силових ліній для диполя скінченних розмірів та для точкового диполя у площині диполя.

